

# بازیابی بار شبکه‌های توزیع در حضور تولید پراکنده با در نظر گرفتن منابع انرژی ذخیره‌ای

امین مرادخانی، محمود رضا حقیقی‌فام و مصطفی محمدیان

با ایستی منتظر رفع خطا شد، تا این که دوباره تغذیه بارها از سوی مسیر اصلی از سر گرفته شود.

امروزه تعداد و اندازه ژنراتورهای محلی متصل به سیستم‌های توزیع با سرعت در حال افزایش است. در میان مزیت‌های نفوذ منابع DG در شبکه‌های توزیع می‌توان به کاهش تلفات سیستم، بهبود پروفیل ولتاژ، بهبود قابلیت اطمینان و به تعویق‌انداختن سرمایه‌گذاری برای توسعه شبکه نام برد. از طرف دیگر می‌توان پیچیده‌تر شدن حفاظت و کنترل سیستم توزیع، عدم قطعیت در شرایط بهره‌برداری و مالکیت خصوصی DG که باعث پیچیده‌شدن هماهنگی بین DG‌های خصوصی با یکدیگر و با شبکه شده است، به عنوان اشکالات نفوذ DG در شبکه‌های توزیع نام برد. DG به دو شکل می‌تواند در عملیات بازیابی تاثیرگذار باشد. اول این که خود باعث ایجاد خطای اضافی شود (ایجاد جزیره ناخواسته) و دوم این که در طی عملیات بازیابی با ایجاد یک جزیره عمده باعث سرعت‌بخشیدن به عملیات بازیابی شود. جزیره عمده جهت بالابردن قابلیت اطمینان بارهای انتهایی شبکه که به سکشن پشتیبان دیگری دسترسی ندارند یک گرینه مناسب است. در غیر این صورت در اثر ایجاد یک خطای دائمی با ایستی این بارها قطعی طولانی را تجربه کنند. موضوع جزیره‌شدن مهم‌ترین بحث در حضور DG در عملیات بازیابی است. جزیره زمانی به وجود می‌آید که بخشی از سیستم توزیع فقط از منبع DG تغذیه شود که به موارد زیر تفصیل می‌شود:

- جزیره‌شدن ناخواسته: وقتی اتفاق می‌افتد که بعد از وقوع خطا امکان قطع اتصال DG از شبکه وجود نداشته باشد. جزیره ناخواسته با ایستی سریعاً شناخته شود و از سیستم حذف شود.

- جزیره‌شدن عمده: به ایجاد جزیره با طرح از پیش تعیین شده اطلاق می‌شود. این جزیره‌ها با ایستی توسط یک منبع مطمئن تغذیه شوند که بتوانند ولتاژ و فرکانس و کیفیت تغذیه را تضمین کنند. در این صورت می‌تواند نقش مهمی در کمک به فرایند بازیابی بار انجام دهد [۱].

- شبکه‌های کوچک: به نوع به‌خصوصی از جزیره عمده اطلاق می‌شوند که اساساً به صورت مستقل کار می‌کنند و به شبکه متصل نیستند. تمام شبکه‌های کوچک را می‌توان سیستم توزیع با یک نقطه بار در نظر گرفت و برای بروزگردان ملاحظات قابلیت اطمینان یک بار محلی طراحی شده‌اند [۱].

بعد از وقوع خطا در سیستم توزیع جهت اجتناب از اثر منفی DG بر روی جریان خطا و عملکرد سیستم حفاظتی، اتصال واحدهای DG با ایستی قطع شود. به همین جهت تمام بارهای موجود در ناحیه جزیره یک قطعی تغذیه گذرا را تجربه می‌کنند. اگر DG توانایی نگهداری بار جزیره

2. Non-Intentional Islanding

3. Intentional Islanding

4. Microgrids

چکیده: امروزه تعداد و اندازه ژنراتورهای DG متصل به سیستم‌های توزیع با سرعت در حال افزایش است. منبع DG در طی عملیات بازیابی می‌تواند با ایجاد یک جزیره عمده باعث سرعت‌بخشیدن به عملیات بازیابی شود. جزیره عمده جهت بالابردن قابلیت اطمینان بارهای انتهایی شبکه که به شاخه پشتیبان دیگری دسترسی ندارند یک گرینه مناسب است و در غیر این صورت این بارها در اثر ایجاد یک خطای دائمی با ایستی قطعی طولانی را تجربه کنند. این مقاله روشی جهت بازیابی بار شبکه‌های توزیع در حضور DG ارائه می‌کند. روش ارائه شده، الگوریتمی مبتنی بر جستجوی منع با هدف کمینه کردن هزینه خاموشی مشترکین طی عملیات بازیابی بار است. در این روش سعی شده که با بازآرایی، ایجاد جزیره و در نهایت بازردایی، بیشترین بار با بیشترین اهمیت در کمترین زمان بازیابی شود. روش ارائه شده واحدهای انرژی محدود و محل تجهیزات سنکرون‌سازی در شبکه را در نظر می‌گیرد. این روش بر روی یک شبکه تست ۳۲ باس اجرا شده و نتایج آن ارائه شده است.

**کلید واژه:** بازیابی بار شبکه‌های توزیع، تولید پراکنده، جستجوی منع.

## ۱- مقدمه

در شبکه‌های توزیع متدالو، انرژی از سمت منبع به صورت شعاعی به سوی مصرف‌کنندگان انتقال می‌یابد. در صورتی که خطای در سیستم توزیع به وجود آید، با ایستی محل خطا هرچه سریع‌تر از سیستم توزیع ایزووله شود. بر اثر این جدایی ممکن است مسیر انتقال انرژی به سوی بعضی از بارها قطع شود و اصطلاحاً این بارها بی‌برق شوند. در سیستم توزیع کلیدهایی وجود دارند که در حالت نرمال باز هستند و می‌توان با استن آنها مسیر دیگری برای تغذیه بارهای بی‌برق از سکشن‌های دیگر همان فیدر یا فیدر پشتیبان ایجاد کنند. به این کلیدهای کلید مانور گفته می‌شود. قابلیت اطمینان شبکه توزیع به میزان و سرعت بازیابی بار مصرف‌کنندگان و همچنین سرعت برگرداندن شبکه به آرایش طبیعی خود وابسته است. در این صورت با استفاده از کلیدهای مانور می‌توان تمام یا بخشی از بارهای بی‌برق را دوباره برق دار کرد و از این طریق قابلیت اطمینان سیستم توزیع را بهبود بخشد. اما اگر محل خطا در سکشن‌های انتهایی فیدر باشد که در مجاورت منطقه بدون برق هیچ کلید مانوری وجود نداشته باشد، دیگر نمی‌توان بارهای منطقه بدون برق را برق دار کرد و

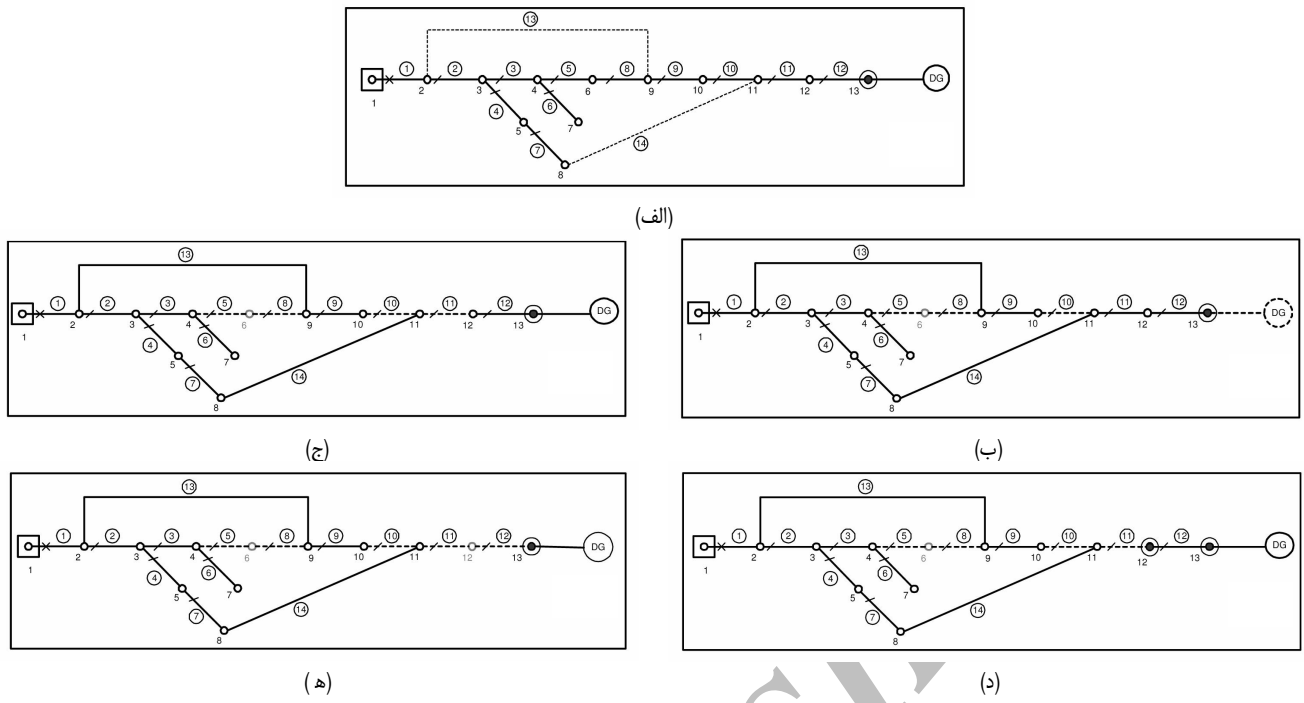
این مقاله در تاریخ ۲۸ مرداد ماه ۱۳۸۸ دریافت و در تاریخ ۱ خرداد ماه ۱۳۸۹ بازنگری شد.

امین مرادخانی، دانشگاه آزاد اسلامی واحد دهلران،  
(email: aminmoradkhani@yahoo.com)

مصطفی محمد رضا حقیقی‌فام، دانشکده برق و کامپیوتر، دانشگاه تربیت مدرس تهران،  
(email: haghifam@modares.ac.ir)

مصطفی محمدیان، دانشکده برق و کامپیوتر، دانشگاه تربیت مدرس تهران،  
(email: mohamadian@modares.ac.ir)

1. Distributed Generation



شکل ۱: دیاگرام تکخطی شبکه فرضی.

بازیابی تعیین شده و در نهایت الگوریتمی مبتنی بر جستجوی منوع برای طرح بازیابی در حضور DG با هدف کاهش هزینه خاموشی ارائه می‌شود. در این الگوریتم DG‌های انژری ذخیره‌ای و تجهیزات سنکرون‌سازی در شبکه را در نظر گرفته می‌شود. همچنین قیود شعاعی ماندن شبکه، عدم تخطی از جریان مجاز خطوط و ولتاژ بس‌ها و محدودیت ظرفیت منابع مدل شده‌اند. در نهایت اجرای الگوریتم بر روی شبکه تست ۳۲ بس ارائه می‌شود. باید خاطرنشان کرد که رفتار دینامیکی منابع تولید پراکنده در این مقاله مورد نظر نبوده و عدم قطعیت در تولید DG در نظر گرفته نشده است. همچنین DG‌ها تحت مالکیت شرکت توزیع در نظر گرفته شده‌اند.

## ۲- طرح مسئله بازیابی بار در حضور DG

با توجه به این که حضور DG در عملیات بازیابی بار به پیچیدگی مسئله می‌افزاید ابتدا مسئله بازیابی بار در حضور DG بررسی می‌شود. دیاگرام تکخطی فیدر توزیع فرضی شکل ۱-الف در نظر بگیرید. این فیدر دارای ۱۳ نقطه بار است و سکشن‌هایی که به صورت خط‌چین نشان داده شده‌اند سکشن‌های مانور هستند. یک واحد DG در بس ۱۳ قرار دارد و اعداد داخل دایره شماره هر سکشن را نشان می‌دهد. جدول ۱ شرح علائم و اختصارات به کار رفته،

با توجه به شکل ۱-الف فرض می‌شود خط در سکشن ۵ ایجاد شده باشد. در این صورت کلید قطع کننده بالا دست محل خط باز می‌شود و کلیه بارهای پایین دست کلید از جمله بارهای بین محل خط و کلید قطع کننده بی‌برق می‌شوند. برای جلوگیری از اثر منفی DG بر روی جریان خط، اتصال آن از شبکه قطع می‌شود. با بازگردان سکسیون‌های دور طرف محل وقوع خط، کلید قطع کننده دوباره بسته می‌شود و بارهای بالا دست محل خط تا کلید قطع کننده دوباره برق دار می‌شوند ولی بارهای مانور در دسترس و واحد DG دوباره برق دار شوند. بار گره ۶ چون در محدوده خط قرار گرفته، تا زمان رفع عیب باید بی‌برق بماند.

در حالت اول فرض می‌شود که تخمین بار تمام پست‌های توزیع سیستم توزیع موجود باشد و ظرفیت در دسترس سکشن‌های مانور توانایی

جدول ۱: شرح علائم و اختصارات به کار رفته.

علائم	شرح علائم	علائم	شرح علائم
	واحد تولید پراکنده		پست فوق توزیع
	تجهیزات سنکرون‌سازی		کلید قطع کننده
/	شماره سکشن		سکسیون

را نداشته باشد با ایستی اتصال DG قطع شود. کلید قطع کننده DG با ایستی بتواند هنگامی که خط‌ها در ناحیه جزیره اتفاق می‌افتد آن را تشخیص دهد و از اتصال مجدد جزیره جلوگیری کند. بعد از رفع خط اتصال مجدد جزیره به شبکه با ایستی در شرایطی که جزیره با شبکه اصلی سنکرون شده است، صورت گیرد.

بازیابی بار یک مسئله بهینه‌سازی پیچیده ترکیبی است. در [۲] تا [۴] از روش‌های ابتکاری برای حل مسئله بازیابی بار در شبکه‌های متداول (بدون DG) بهره جسته‌اند. اما این روش‌ها وابسته به تجربه و تخصص متخصصان است و در همه ساختارهای متفاوت شبکه‌های توزیع کارایی ندارد یعنی هزینه طراحی مجدد آن زیاد است، لیکن در مورد یک شبکه خاص پاسخ مناسبی می‌دهند اما این پاسخ لزوماً پاسخ بهینه نیست. در [۵] تا [۷] نیز برای بهینه‌سازی عملیات بازیابی از الگوریتم ژنتیک بهره‌گیری شده است. در حل مسایل بازیابی بار نظریه فازی معمولاً با ترکیب یک روش ابتکاری دیگر مطرح شده است [۸] تا [۱۰]. در [۱۱] از جستجوی منوع برای حل مسئله بازیابی بار در شبکه‌های توزیع استفاده می‌شود. مهم‌ترین مزیت جستجوی منوع نسبت به الگوریتم ژنتیک استفاده هوشمندانه از حافظه جستجوی گذشته برای اثربخشی در جستجوی آتی است. در [۱۲] کاربرد شبکه عصبی در بازیابی بار نشان داده شده است اما آموزش شبکه عصبی کار آسانی نیست، همچنین هزینه طراحی مجدد آن زیاد است.

در این مقاله به بررسی اثر DG در عملیات بازیابی بار پرداخته شده است و مشخصات مورد نیاز برای واحد DG جهت شرکت در عملیات

بی‌برق برای تعذیه تمامی بارهای ناحیه بی‌برق کافی نباشد. در این صورت بایستی از برق دار کردن بعضی از بارهای ناحیه خط‌صرف نظر کرد. شکل ۱-۱-۵ آرایش شبکه را در این حالت نشان می‌دهد. در این صورت بار ۱۲ زمان خاموشی به اندازه زمان رفع کامل خط‌ها ( $t_{repair}$ ) متحمل می‌شود.

زمان هر طرح بازیابی به انواع عملیات انجام‌شده در طی فرایند بازیابی مرتبط است. جدول ۲ مقایسه بین تمام حالت‌های بررسی‌شده شکل‌های ۱-۱-۶ را بر اساس زمان بازیابی بارها نشان می‌دهد.

در شبکه‌های توزیع واقعی که دارای تعداد بار و سکشن‌های بیشتری هستند، یافتن یک طرح بازیابی بهینه کار پیچیده‌ای است. کمبودن زمان بازیابی یک پارامتر بسیار مهم در عملیات بازیابی بار است که مستقیماً بر روی ENS شبکه تأثیرگذار است. در نتیجه یک فاکتور مهم در عملیات بازیابی کم کردن ENS می‌باشد که با انتخاب آرایشی از شبکه که دارای

کمترین زمان بازیابی باشد، تحقق می‌پذیرد.

فاکتور دیگر تعداد کلیدزنی‌های انجام‌شده برای دست‌یافتن به یک طرح بازیابی است. بدینه ای است تعداد کلیدزنی‌ها هم بر روی زمان بازیابی و هم در عمر تجهیزات کلیدزنی تأثیرگذار است. از این رو پارامتر مهم دیگر در انتخاب طرح بهینه بازیابی، کمینه بودن تعداد کلیدزنی است.

فاکتور تأثیرگذار دیگر در بحث بازیابی بار اهمیت بارهای است. در صورت نیاز به بارزدایی، اهمیت بارها بایستی در نظر گرفته شود تا بارهای با اهمیت بالا تعذیه شوند.

فاکتور دیگر نوع و محدودیت‌های بهره‌برداری DG‌های شرکت‌کننده در عملیات بازیابی است. باید توجه داشت مهم‌ترین خصوصیت DG برای شرکت در عملیات بازیابی بار، قابلیت جزیره‌شدن است. اولین خصوصیتی که برای ایجاد جزیره لازم است، توانایی راهاندازی سرد<sup>۱</sup> است یعنی این DG که ژنراتور بتواند بدون منبع ولتاژ خارجی راهاندازی شود. همچنین بازیستی توانایی کنترل فرکانس و ولتاژ بار و در ضمن توانایی پاسخ‌گویی به تغییرات بار را داشته باشد [۱۳]. علاوه بر این واحد DG باستی قابلیت ارتباط، کنترل و فرمان‌گیری از اپراتور توزیع را داشته باشد [۱۴]. همچنین ابزار لازم برای حفاظت، اتصال و سنکرون‌سازی DG با شبکه اصلی در نظر گرفته شده باشد. در صورت وجود DG از نوع انرژی ذخیره‌ای، با توجه به محدودبودن انرژی این واحدها، زمان حضور آنها و استبه به میزان توان درخواستی از آنها است. تعیین مدت زمان بهره‌برداری بهینه از واحدهای انرژی ذخیره‌ای در طی عملیات بازیابی بر روی ENS سیستم تأثیرگذار است. از سوی دیگر محل قرارگرفتن تجهیزات سنکرون‌سازی در شبکه بر طول زمان بازیابی مؤثر است. از این رو تعیین روش بهینه به کارگیری واحدهای انرژی ذخیره‌ای در طرح بازیابی و در نظر گرفتن محل تجهیزات سنکرون‌سازی از پیچیدگی‌های مسئله بازیابی بار در حضور DG هستند.

### ۳- الگوریتم پیشنهادی

#### ۱-۳ الگوریتم جستجوی ممنوع

برای جستجوی بهترین آرایش نهایی بازیابی شبکه از تکنیک جستجوی ممنوع استفاده می‌شود. الگوریتم جستجوی ممنوع یکی از مدرن‌ترین روش‌های ابتکاری برای حل مسائل بهینه‌سازی ترکیبی است که در [۱۵] و [۱۶] بدعنوان یکی از مؤثرترین روش‌ها در حل مسائل بیان شده است. یک مشخصه جستجوی ممنوع نسبت به سایر روش‌های

جدول ۲: زمان بازیابی برای هر یک از بارهای محدوده بی‌برق.

بار	زمان بازیابی شکل ۱-۱-۶	زمان بازیابی شکل ۱-۱-۷	زمان بازیابی شکل ۱-۱-۸	زمان بازیابی شکل ۱-۱-۹
۶	$t_{repair}$	$t_{repair}$	$t_{repair}$	$t_{repair}$
۹	$t_{sw}$	$t_{sw}$	$t_{sw}$	$t_{sw}$
۱۰	$t_{sw}$	$t_{sw}$	$t_{sw}$	$t_{sw}$
۱۱	$t_{sw}$	$t_{sw}$	$t_{sw}$	$t_{sw}$
۱۲	$t_{repair}$	$t_{is}$	$t_{is} + t_{connect}$	$t_{sw}$
۱۳	$t_{is}$	$t_{is}$	$t_{is}$	$t_{sw}$

تعذیه تمام بارهای ناحیه بی‌برق را داشته باشد. شکل ۱-۱-۶ آرایش جدید سیستم را نشان می‌دهد. در این حالت با بازکردن سکسیون ۱۰ و بستن کلیدهای مانور ۱۳ و ۱۴ تمام بارهای ناحیه خط‌دواه برق دار می‌شوند. باز گره‌های ۹ و ۱۰ توسط سکشن مانور ۱۳ و باز گره‌های ۱۱ و ۱۲ توسط سکشن مانور ۱۴ تعذیه می‌شوند. سپس می‌توان DG را با عملیات سنکرون‌سازی به شبکه متصل کرد. زمان بازیابی بارهای پایین دست در این حالت برابر با زمان لازم برای عملیات کلیدزنی ( $t_{sw}$ ) است. اگر فرض کافی بودن ظرفیت در دسترس سکشن‌های مانور برای تعذیه تمام بارهای ناحیه بازیابی پایین دست در سنکرون‌سازی ظرفیت در دسترس DG را نیز در نظر گرفت. در این حالت ممکن است محدوده جزیره از قبل مشخص باشد و زمانی که تعذیه از سمت پست فوق توزیع دچار مشکل شد، بارهای انتهایی فیدر بهوسیله یک کلید جداکننده به صورت جزیره توسط منبع DG تعذیه شوند. بعد از رفع خط‌ها، بارهای جزیره توسط تجهیزات سنکرون‌ساز به شبکه اصلی متصل می‌شوند. اما نوع دیگر جزیره با محدوده متغیر است که می‌تواند با توجه به نوع خط‌ها محدوده آن متغیر باشد. در این مقاله جزیره با محدوده متغیر مد نظر است. شکل ۱-۱-۷ آرایش بازیابی شده شبکه را به کمک DG و سکشن‌های مانور، با این فرض که ظرفیت در دسترس DG و نقاط مانور پاسخ‌گویی تمام بارهایقطع شده می‌باشد، نشان می‌دهد. باز گره‌های ۹ و ۱۰ از طریق سکشن مانور ۱۳ و باز گره ۱۱ نیز توسط سکشن مانور ۱۴ تعذیه می‌شود. باز گره‌های ۱۲ و ۱۳ نیز توسط DG به صورت جزیره تعذیه می‌شود. زمان بازیابی برای بارهای ۱۰، ۹ و ۱۱ برابر با  $t_{sw}$  و باز ۱۲ که در محدوده جزیره قرار دارد. علاوه بر زمانی که برای جداکردن جزیره از شبکه اصلی ( $t_{connect}$ ) نیاز دارد، زمانی برای راهاندازی جزیره ( $t_{is}$ ) متحمل می‌شود. بعد از رفع خط‌ها برای بازگشت شبکه به آرایش اصلی باستی DG با شبکه دوباره سنکرون شود که این کار از طریق گره کوپلینگ مشترک که تجهیزات سنکرون‌سازی به آن متصل است، انجام می‌گیرد. پس ابتدا برای که بین مرز جزیره و محل تجهیزات سنکرون‌سازی قرار دارد برق می‌شود، سپس این بارها به شبکه اصلی متصل می‌شوند و بعد عملیات سنکرون‌سازی انجام می‌شود.

در صورتی که تجهیزات سنکرون‌سازی در مرز جزیره و شبکه اصلی قرار داشته باشد، شکل ۱-۸ از گرفتن جزیره و اتصال مجدد جزیره به شبکه بدون اتفاق وقت انجام می‌گیرد. شکل ۱-۹ آرایش بازیابی شده شبکه را در حالتی نشان می‌دهد که تجهیزات سنکرون‌سازی در مرز جزیره و شبکه قرار دارند. در این صورت بارهای متصل به سکشن‌های مانور زمان  $t_{sw}$  و بارهای محدوده جزیره زمان  $t_{is}$  را در عملیات بازیابی متحمل می‌شوند. اما حالت دیگری که وقوع آن محتمل می‌باشد این است که ظرفیت در دسترس سکشن‌های مانور همراه با ظرفیت DG‌های در دسترس ناحیه

سکشن قطع شده	۹	-
سکشن وصل شده	۱۳	۱۴

شکل ۳: یک پاسخ اولیه برای آرایش شکل ۱-ب.

۶) بهینه‌ترین پاسخ همسایه را که جزو فهرست ممنوع نیست انتخاب می‌کنیم و آن را به عنوان پاسخ فعلی جدید در نظر می‌گیریم.

۷) پاسخ فعلی جدید را در فهرست ممنوع قرار می‌دهیم، اگر فهرست ممنوع حاوی Mts عضو است، ابتدا قدیمی‌ترین پاسخ را از فهرست حذف می‌کنیم و بعد پاسخ فعلی جدید را در فهرست ممنوع قرار می‌دهیم.

۸) اگر  $K < IT_{max}$  به مرحله ۳ می‌رویم.

۹) بهترین پاسخ به دست آمده تا این مرحله به عنوان پاسخ نهایی در نظر گرفته می‌شود.

شکل ۲ فلوچارت مربوط به الگوریتم جستجوی ممنوع را نشان می‌دهد. هر آرایش کاندید برای بازیابی را می‌توان با تغییرات اعمال شده در وضعیت کلیدها نشان داد ولی در اینجا برای کاهش حجم محاسبات فقط تغییرات سکشن‌ها نسبت به حالت اولیه را در نظر می‌گیریم. به طور مثال شکل ۳ یک پاسخ اولیه برای آرایش شکل ۱-ب نشان می‌دهد.

سکشن ۹ سکشن متصل کننده گره‌های ۹ و ۱۰ است که در اینجا باستی باز شود و کلیدهای مربوط به سکشن‌های مانوری ۱۳ و ۱۴ باستی بسته شوند.

### ۲-۳ ایجاد آرایش‌های همسایه

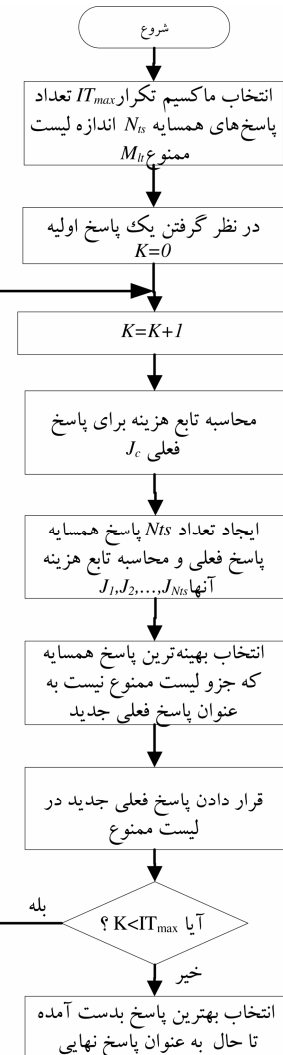
در روش جستجوی ممنوع در هر تکرار مجموعه‌ای از پاسخ‌ها (آرایش‌ها) که در همسایه پاسخ (آرایش) فعلی هستند باستی ایجاد شوند. مجموعه پاسخ‌های همسایه با استفاده از دستورهای زیر تولید می‌شوند:

- جایگزینی اولین سکشن مانور با سکشن مانور در دسترس دیگر.
- اضافه کردن یک یا چند جفت سکشن قطع-وصل به آرایش فعلی.
- خارج کردن یک یا چند جفت سکشن قطع-وصل از آرایش فعلی.
- جایگزینی یک یا چند جفت سکشن قطع-وصل از آرایش فعلی با یک یا چند جفت سکشن قطع-وصل دیگر.

با استفاده از هر یک از دستورهای زیر به آرایش فعلی می‌توان یک آرایش همسایه تولید کرد. انتخاب جفت سکشن‌های که باید به ترتیب قطع و وصل شوند به صورت تصادفی از میان سکشن‌های که در فیدر موجود هستند، انجام می‌گیرد. در میان آرایش‌های تولید شده آرایش‌های غیر واقعی به وجود خواهد آمد. به طور مثال ممکن است در آرایش همسایه حلقه ایجاد شود که با کنترل تمام آرایش‌های همسایه از بوجود آمدن حالت‌های غیر شعاعی جلوگیری به عمل خواهد آمد.

در صورتی که نیاز به بازدایی باشد باستی در ایجاد آرایش‌های همسایه به بازدایی نیز توجه داشت. مدل بار در نظر گرفته به صورت بار غیر قابل کنترل است. بار غیر قابل کنترل قسمتی از بار است که وقتی باس تحت سرویس است، برق دار می‌شود. در الگوریتم بهینه‌سازی، در ایجاد آرایش‌های همسایه با حذف یک یا چند سکشن، بارهای پایین دست این سکشن‌ها حذف می‌شوند. در حقیقت با این کار بازدایی نیز وارد چرخه بهینه‌سازی می‌شود. در نتیجه این دستورها نیز به چهار دستور قبلی اضافه می‌شود:

- اضافه کردن یک یا چند سکشن "قطع" به پاسخ فعلی.
- جایگزین کردن یک یا چند سکشن "قطع" به پاسخ فعلی.
- حذف کردن یک یا چند سکشن "قطع" از پاسخ فعلی.



شکل ۲: فلوچارت مراحل الگوریتم جستجوی ممنوع.

بهینه‌سازی، بهره‌گیری آن از شکل‌های انعطاف‌پذیر حافظه است. از آنجا که ممکن است پس از چند تکرار متوالی پاسخ به دست آمده یکی از نقاط جستجوی مراحل قبل باشد، جواب‌های چند مرحله آخر در حافظه کوتاه‌مدت قرار می‌گیرد که به آن فهرست ممنوع گفته می‌شود. بهترین پاسخ هر مرحله در فهرست ممنوعه قرار می‌گیرد و قدیمی‌ترین پاسخ از فهرست حذف می‌شود. در روند حل مسئله اگر بهترین پاسخ در بین پاسخ‌های همسایه در فهرست ممنوع قرار داشت، پاسخ مورد قبول نبوده و پاسخ همسایه دیگری بهترین پاسخ انتخاب می‌شود. با این کار از بازگشت به مسیرهای قبلی جلوگیری شده و با طی مسیرهای جدید فضای بیشتری مورد جستجو قرار می‌گیرد.

الگوریتم جستجوی ممنوع بدین صورت است:

(۱) انتخاب بیشینه تکرار  $IT_{max}$ ، تعداد پاسخ‌های همسایه Nts و اندازه Mts فهرست ممنوع

(۲) در نظر گرفتن یک پاسخ اولیه  $A_c = 0$ . در این مرحله از میان سکشن‌های مانوری که قادرند به ناحیه خطا توان برسانند، یکی وصل می‌شود و آرایش به دست آمده به عنوان آرایش اولیه شبکه در نظر گرفته می‌شود.

(۳)  $K = K + 1$

(۴) محاسبه مقدار برازنده‌گی برای پاسخ فعلی  $J_c$ .

(۵) ایجاد تعداد Nts پاسخ همسایه پاسخ فعلی و محاسبه برازنده‌گی آنها  $J_1, J_2, \dots, J_{Nts}$ .

جریمه تخطی از ولتاژ از نمودار شکل ۴ تبعیت می‌کنیم. در حقیقت با انعطاف‌پذیر کردن قید ولتاژ، مصالحه‌ای بین قابلیت اطمینان و کیفیت توان سیستم صورت می‌گیرد و می‌توان بارهای بیشتری با کیفیت توان کمتری تعذیب کرد و میزان بارزدایی را کاهش داد.

اگر (۳) برقرار نبود، یعنی حداقل ولتاژ آرایش مذکور کوچک‌تر از حداقل ولتاژ بحرانی شبکه باشد، در این صورت جریمه تخطی از قید ولتاژ  $f_{penalty}^V$  از رابطه زیر محاسبه می‌شود

$$f_{penalty}^V = \alpha \sum_{i=1}^m \Delta V_i \quad (4)$$

که در آن  $\Delta V_i$  میزان اختلاف ولتاژ باس  $i$  با ولتاژ  $V_{min}$  است. جریمه تخطی از قید جریان ( $f_{penalty}^I$ ) از رابطه زیر محاسبه می‌شود

$$f_{penalty}^I = \alpha \sum_{i=1}^m \Delta I_i \quad (5)$$

که در آن  $\Delta I_i$  میزان اختلاف جریان خط  $i$  ام از مقدار مجاز و  $\alpha_I$  ضرایب وزنی هستند. ضرایب وزنی  $\alpha_V$  و  $\alpha_I$  طوری تنظیم می‌شوند که میزان جریمه به اندازه کافی بزرگ باشد تا در جریان انتخاب پاسخ بهینه، این آرایش کنار گذاشته شود. در نهایت میزان جریمه کلی برابر

$$\text{حدوده بار تخمینی برای هر جزیره به صورت زیر است} \\ f_{penalty}^V + f_{penalty}^I$$

$$(1-\beta) \sum (P_G)^{\min} \leq \sum_{k \in N_L} P_{Lk} \leq (1-\beta) \sum (P_G)^{\max} \quad (6)$$

$$(1-\beta) \sum (Q_G)^{\min} \leq \sum_{k \in N_L} Q_{Lk} \leq (1-\beta) \sum (Q_G)^{\max} \quad (7)$$

که درصد میزان تلفات نسبت به کل تولید  $P_G$  و  $Q_G$  حداقل توان اکتیو و راکتیو تولیدی DG و  $P_{LK}$  و  $Q_{LK}$  بار اکتیو و راکتیو  $k$  ام است. این محدودیت‌ها به وسیله مقادیر نامی DG ها برای اجتناب از اضافه بار شدن DG ها اعمال می‌شود. اگر در آرایش‌های همسایه مجموعه بارهای در نظر گرفته شده برای یک جزیره در (۶) و (۷) صدق نکرد، از ورود این آرایش به بخش محاسبات جلوگیری می‌شود. این روش از نظر محاسباتی تعداد اجره‌ای پخش بار را کاهش می‌دهد. باید توجه داشت که حدود بار در (۶) و (۷) با کم کردن تلفات از تولید ژنراتورها محاسبه می‌شود.  $\beta$  هر بار تجدید شده و پس از هر پخش بار دوباره محاسبه می‌شود.

### ۱-۳-۳ محاسبه زمان بازیابی برای هر بار

در هر آرایش زمان بازیابی بار که در محاسبه ENS بازیابی مورد

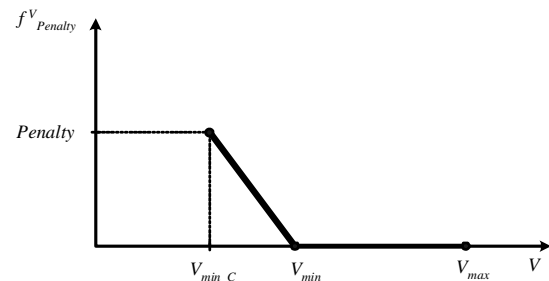
استفاده قرار می‌گیرد به صورت زیر انجام می‌گیرد:

اگر بار در محدوده شبکه اصلی بود زمان مورد نیاز برای بازیابی برای بار مربوطه برابر با زمان کلیدزنی ( $t_{sw}$ ) است. زمان کلیدزنی از رابطه زیر محاسبه می‌شود

$$t = \frac{n_{sw}}{n_{op}} \times t_{sw} \quad (8)$$

که در آن  $n_{sw}$  تعداد کلیدزنی‌ها،  $t_{sw}$  زمان لازم برای هر کلیدزنی و  $n_{op}$  تعداد گروه‌های عملیات کلیدزنی است. باید توجه داشت که نسبت  $n_{sw}/n_{op}$  اگر غیر صحیح باشد باید به سمت عدد صحیح بالاتر گرد شود.

اگر بار در محدوده جزیره باشد زمان مورد نیاز برای بازیابی بار مربوطه برابر با زمان مورد نیاز برای شکل‌دادن جزیره ( $t_{is}$ ) است. اگر تجهیزات سنکرون‌سازی در مرز جزیره با شبکه اصلی قرار نداشته باشد،



شکل ۴: نمودار جریمه بر اساس تخطی از محدوده ولتاژ.

### ۳-۳ تابع هزینه

تابع هزینه  $F$  به صورت (۱) مطرح می‌شود

$$F = \sum_{i=1}^L (price_i \times P_{l\_non\_i} \times t_i) + \sum_{j=1}^W (t_{repair} - t_{is\_j} - t_{E_j}) \times cost_{l\_E_j} + f_{penalty} \quad (1)$$

که در آن  $P_{l\_non\_i}$  توان بار برق  $i$  ام،  $price_i$  قیمت بار  $i$  و  $t_i$  تعداد بارهای محدوده بی‌برق،  $L$  تعداد بارهای محدوده DG های از نرژی ذخیره‌ای،  $t_{E_j}$  مدت زمان بهره‌برداری از واحد انرژی ذخیره‌ای  $j$  ام،  $t_{is\_j}$  زمان لازم برای شکل‌دادن جزیره  $j$  هزینه  $cost_{l\_E_j}$  خاموشی توان تعذیب شده توسط DG از نرژی ذخیره‌ای زام و  $t_{repair}$  مدت زمان رفع کامل عیب شبکه است.

بخش اول تابع هزینه، زمان و تعداد کلیدزنی‌ها را کاهش می‌دهد. با در نظر گرفتن قیمت هر ساعت خاموشی هر بار می‌توان اهمیت آن بار را در تابع هزینه، به صورت هزینه خاموشی برای آن مشترکین لحظه کرد. در حقیقت با این کار می‌توان بیشترین بار با اهمیت بالاتر را در زمان کمتر و با تعداد کلیدزنی کمتر بازیابی کرد.

بخش دوم تابع هزینه مربوط به DG های از نرژی ذخیره‌ای است. برای تعیین زمان بهره‌برداری از این منابع در فرایند بازیابی سعی می‌شود که هزینه خاموشی بارهای جزیره‌ای که توسط DG از نرژی ذخیره‌ای می‌شوند، حداقل شود. در هر آرایش زمان تداوم تعذیب توسط DG از نرژی ذخیره‌ای محاسبه می‌شود

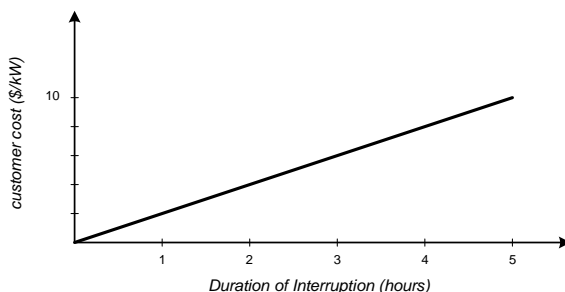
$$t_{E_j} = \frac{E_j}{(1+\beta) \times P_{l\_non\_E}} \quad (2)$$

که در آن  $E_j$  میزان انرژی DG  $j$  میزان توان بارهای محدوده جزیره و  $\beta$  درصد تلفات شبکه است. سپس اختلاف بین زمان پیش‌بینی شده برای رفع کامل عیب شبکه ( $t_{repair}$ ) و زمان تداوم تعذیب توسط DG ( $t_{E_j}$ ) و زمان لازم برای شکل‌دهی جزیره ( $t_{is\_j}$ ) در هزینه هر ساعت خاموشی مشترکین جزیره ( $cost_{l\_E_j}$ ) ضرب شده و این ترم در تابع هزینه بهینه می‌شود.

$f_{penalty}$  تابع جریمه تخطی از قید است که در آن دو قید ولتاژ و جریان لحظه می‌شوند. نحوه محاسبه جریمه مربوط به قید ولتاژ بدین صورت است که برای هر آرایش ولتاژ کمینه شبکه را پیدا می‌کنیم ( $V_{j \min}$ ). سپس رابطه زیر بررسی می‌شود

$$V_{min\_C} \leq V_{j \min} \leq V_{min} \quad (3)$$

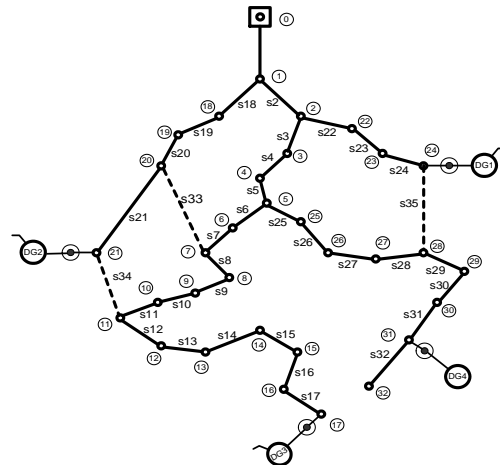
که  $V_{min}$  ولتاژ کمینه مجاز شبکه در حالت عادی است و  $V_{min\_C}$  ولتاژ کمینه مجاز شبکه در حالت بحرانی است. اگر (۳) برقرار بود برای محاسبه



شکل ۶ نمودار هزینه هر کیلووات خاموشی مشترک خانگی بر اساس ساعت خاموشی.

جدول ۳: نتایج عملیات کلیدزنی‌های لازم

S <sub>۳۳</sub>	S <sub>۳۵</sub>	وصل
-	S <sub>۲۷</sub>	قطع



شکل ۵: دیاگرام تکخطی شبکه نمونه.

جدول ۴: نتایج عملیات کلیدزنی‌های لازم ستاریوی دوم.

کلیدزنی	زمان بازیابی (دقیقه)	تابع هزینه (هزار دلار)		ENS (MWh)
		هزینه خاموشی	جریمه	
وصل	S <sub>۳۴</sub> S <sub>۳۳</sub>	۴۰	۹,۲۰۲	۰,۰۲۵
قطع	S <sub>۲۶</sub> S <sub>۲۵</sub> S <sub>۱۱</sub> S <sub>۳۱</sub> S <sub>۱۳</sub>	۴,۰۷۷	۰,۰۲۵	

بارهای پایین دست کلید قطع کننده برق می‌شوند. تمام DG ها اتصال خود را از شبكه قطع می‌کنند. ابراتور توزیع باستی ابتدا مکان خط را بیابد و سپس آن را از شبكه ایزوله کند که ایزوله کردن خط با بازکردن سکسیونرهای دو طرف محل خط انجام می‌شود. سپس دوباره کلید قطع کننده ابتدای فیدر وصل شده و شبکه بالا درست محل خط برق دار می‌شود و شبکه پایین دست برق باقی می‌ماند. بار باس شماره ۴ باستی تا زمان رفع خط را برق باقی بماند. بار باس های ۵ الی ۱۷ و باس های ۲۵ الی ۳۲ نیز قطع شده است. هدف برنامه در اینجا پیدا کردن مسیر دیگری برای تعذیه این بارها و بازیابی آنهاست. فرض می‌شود زمان های بازیابی مطابق جدول پ-۳ و همچنین هزینه خاموشی هر کیلووات توان اکتیو در ساعت یک مطابق نمودار شکل ۶ محاسبه می‌شود.

با اجرای برنامه بهینه‌سازی جستجوی تابو در ۳۰ تکرار، با اندازه لیست تابو ۱۰ و تعداد نقاط همسایه ۳۰ بهترین جواب به دست آمده به عنوان پاسخنهای در نظر گرفته شد. جدول ۳ کلیدزنی‌های لازم برای بازیابی بارهای قطع شده را با یک گروه عملیاتی نشان می‌دهد. روند همگرایی الگوریتم جستجوی تابو در نمودار شکل ۶ ارائه شده است.

در ستاریوی بعدی بارهای شبکه را افزایش می‌دهیم و با فرض ۲۸۰٪ افزایش در بارهای اکتیو و راکتیو شبکه و ۵ گروه عملیاتی مسئله بازیابی بار در حالت قبل را بررسی می‌کنیم. جدول ۴ نتایج برنامه بهینه‌سازی را نشان می‌دهد.

شکل ۸ آرایش شبکه را بعد از بازیابی نشان می‌دهد. همان‌طور که پیداست بازدایی انجام گرفته است و بار ۲۵ برق دار مانده است. بقیه بارها با ایجاد دو جزیره و سکشن‌های مانور برق دار می‌شوند.

در ستاریوی سوم فرض می‌شود DG شماره ۳ یک باطری اسید-سرب باشد. با فرض ۲۳۰٪ افزایش در بارهای شبکه بازیابی بار را در حضور DG انرژی ذخیره‌ای بررسی می‌کنیم. نتایج برنامه بازیابی در جدول ۵ نشان داده شده است. همان‌طور که پیداست با توجه به انرژی واحد DG برنامه سعی کرده است که بار مناسبی را به DG اختصاص دهد به صورتی که زمان تداوم تعذیه بارهای جزیره توسط DG تا زمان

تمام بارهای مرز جزیره تا تجهیزات سنکرون‌سازی زمان خاموشی بیشتری به اندازه  $t_{connect}$  متحمل می‌شوند. بارهایی که هیچ مسیری برای تعذیه ندارند، زمان خاموشی به اندازه زمان لازم برای رفع عیب ( $t_{repair}$ ) متحمل می‌شوند.

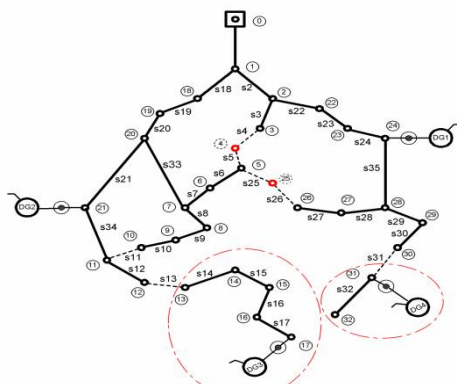
### ۳-۲-۳ پخش بار

پخش بار جاروب رفت و برگشت یک روش سریع برای پخش بار شعاعی است که به طور معمول از این پخش بار در شبکه‌های توزیع شعاعی استفاده می‌کنند. این الگوریتم در هر تکرار تا رسیدن به همگرایی شامل دو مرحله می‌باشد. در مرحله اول جریان تمام گره‌ها و در نهایت جریان تمام سکشن‌ها محاسبه می‌شود و در مرحله دوم با توجه به جریان به دست آمده در مرحله نخست ولتاژ شین‌ها محاسبه می‌گردد و این روند تا همگرایی الگوریتم ادامه می‌یابد. اما در شبکه‌های توزیع شامل تولید پراکنده اگر DG به صورت PV در نظر گرفته شود، دیگر نمی‌توان از پخش بار جاروب رفت و برگشت استفاده کرد. با توجه به این که منابع DG می‌توانند به صورت باس‌های PV و PQ باشند، پخش بار جاروب رفت و برگشت برای در نظر گرفتن منبع PV توسعه داده شده است [۱۷].

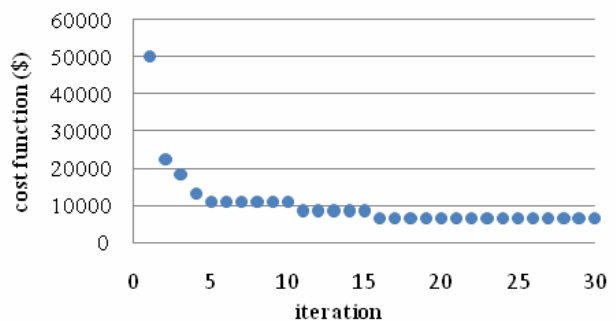
## ۴- شبیه‌سازی

به خاطر این که مطالعه مسئله بازاریابی با حضور DG سابقه چندانی ندارد، شبکه آزمونی متداولی برای آن یافت نشد. به همین جهت یک شبکه توزیع مرسوم انتخاب گردیده و چند واحد تولید پراکنده به آن اضافه شده است. شبکه تست شامل ۳۲ نقطه بار، ۳۲ سکشن، ۳ خط مانوری، ۴ واحد تولید پراکنده و یک پست تعذیه می‌باشد. شکل ۵ آرایش شبکه را نشان می‌دهد. اطلاعات بار و خطوط شبکه توزیع در جدول پ-۱ در پیوست مقاله داده شده است [۱]. بارها مربوط به بار انتهای است.

شبکه فوق دارای ۴ واحد تولید پراکنده است. مشخصات واحدهای DG در جدول پ-۲ در پیوست مقاله ارائه شده است. اگر خط در سکشن ۴ اتفاق بیفت، کلید قطع کننده بالا درست خط قطع می‌شود و در نتیجه تمام



شکل ۸: دیاگرام تک خطی شبکه بازیابی شده.



شکل ۷: روند همگرایی الگوریتم جستجوی ممنوع.

جدول ۵: نتایج عملیات کلیدزنی‌های لازم سفاریوی سوم.

کلیدزنی	زمان بازیابی (دقیقه)			تابع هزینه	ENS (MWh)	زمان تداوم DG	زمان تداوم واحد انرژی (MWh)
	جزیره	شبکه	هزار دلار)				
-	S33	S35	وصل	۴۵	۲۰	۲,۷۳	۲,۲۶۵
S26	S12	S31	قطع	۴۵	۲۰	۴,۶۴	۲,۲۵۴
S34	S33	S35	وصل	۴۵	۲۰	۷,۴۹	۳,۵۹۱
S31	S28	S14	قطع	۴۵	۲۰	۸,۸۵	۱۲۲
S34	S33	S35	وصل	۴۵	۲۰	۳,۷۵۴	۰
S31	S27	S15	قطع	۴۵	۲۰	۰	۰
S34	S33	S35	وصل	۴۵	۲۰	۰	۰
S31	S26	S17	قطع	۴۵	۲۰	۰	۰

جدول ۶: نتایج عملیات کلیدزنی‌های لازم سفاریوی چهارم.

کلیدزنی	زمان بازیابی (دقیقه)			تابع هزینه	ENS (MWh)	محل تجهیزات سنکرون‌سازی			
	جزیره	شبکه	(هزار دلار)						
-	S33	S35	وصل	۴۵	۴۵	۲۰	۲,۷۳	۲,۲۶	-
S27	S12	S31	قطع	۴۵	۴۵	۲۰	۲,۷۳	۲,۲۶	۱۱
-	S33	S35	وصل	۴۵	۲۵	۲۰	۲,۶۱	۱,۹۳	۱۱
S31	S25	S11	قطع	۴۵	۲۵	۲۰	۲,۳۹	۱,۹۱	۱۳
S33	S35	وصل	۴۵	۲۵	۲۰	۰	۰	۰	۰
S31	S27	S13	قطع	۴۵	۲۵	۰	۰	۰	۰

همچنین در این روش اثر واحدهای تولید پراکنده انرژی محدود و محل تجهیزات سنکرون‌سازی در عملیات بازیابی بار در نظر گرفته شده است. می‌توان نتیجه گرفت وجود DG در انتهای شبکه در صورتی که قابلیت جزیره‌شدن داشته باشد بسیار می‌تواند در بازیابی بار مؤثر باشد. همچنین تعیین محدوده جزیره‌ای که توسط یک DG انرژی ذخیره‌ای تغذیه می‌شود، بایستی با توجه به میزان ذخیره انرژی واحد و زمان پیش‌بینی شده برای رفع خطا انجام گیرد به طوری که استفاده بهینه از واحد انرژی ذخیره‌ای انجام شود. محل تجهیزات سنکرون‌سازی در تعیین مرز جزیره بسیار مهم هستند و با وجود تجهیزات سنکرون‌سازی در شبکه در جای مناسب می‌توان باعث کاهش زمان شکل گرفتن جزیره و اتصال مجدد به شبکه شد.

## ۶- پیوست

سایر فرضیات مسئله به شرح زیر است:

رفع خطا به طول بیانجامد تا از این طریق شبکه را کاهش دهد. در سفاریوی چهارم اثر تجهیزات سنکرون‌سازی در عملیات بازیابی بار بررسی شده است. جدول ۶ نتایج بازیابی بار را در حالتی که تجهیزات سنکرون‌سازی در باس‌های ۱۱ و ۱۳ قرار داشته باشد را نشان می‌دهد. همان‌طور که مشخص است برنامه مرز جزیره را در محل تجهیزات سنکرون‌سازی قرار می‌دهد تا بازیابی بارهای جزیره سریع‌تر صورت گیرد و ENS شبکه کاهش پیدا کند.

## ۵- نتیجه‌گیری

این مقاله روشی جهت بازیابی بار شبکه‌های توزیع در حضور تولید پراکنده ارائه می‌کند. روش ارائه شده الگوریتمی مبتنی بر جستجوی ممنوع، با هدف کمینه کردن هزینه خاموشی مشترکین طی عملیات بازیابی بار است. در این روش سعی شده که با بازآرایی، ایجاد جزیره و در نهایت باززدایی، بیشترین بار با بیشترین اهمیت، در کمترین زمان بازیابی شود.

جدول پ - ۲: مشخصات واحدهای DG

شماره واحد	باس اتصال	ظرفیت (MVA)	$P_{\max}$ (MW)	$P_{\min}$ (MW)	$Q_{\max}$ (MVAR)	$Q_{\min}$ (MVAR)	نوع بجهه‌برداری	قابلیت جزیره‌شدن
۱	۲۴	.۰۲۵	.۰۲	.۰۱	.۰۱۴	-.۰۰۶	PV	بله
۲	۲۱	.۰۶	.۰۵	.۰۲	.۰۳۵	-.۰۱۵	PV	بله
۳	۳۱	۱.۵	۱.۲	.۰۵	.۰۸۵	-.۰۰۳	PV	بله
۴	۱۷	.۰۸	.۰۷	.۰۳	.۰۴۲	-.۰۱۵	PV	بله

جدول پ - ۳: زمان‌های در نظر گرفته شده (دقیقه).

$t_{repair}$	$t_{connect}$	$t_{is}$	$t_{sw}$
۲۰۰	۲۰	۲۵	۲۰

پارامترهای جستجوی تابو: اندازه لیست تابو، ۱۰، تعداد کل تکرارها ۳۰ و تعداد نقاط همسایه ۳۰ نقطه انتخاب شد.

## مراجع

- [1] E. Carpaneto, G. Chicco, and A. Prunotto, "Reliability of reconfigurable distribution systems including distributed generation," in Proc. 9th Int. Conf. on Probabilistic Methods Applied to Power Systems, 6 pp., Stockholm, Sweden, 11-15 Jun. 2006.
- [2] K. Aoki, K. Nara, M. Itoh, T. Satoh, and H. Kuwabara, "A new algorithm for service restoration in distribution systems," Paper 89 WM 085-2 PWRD, presented at the IEEE/PES 1989 Winter Meeting.
- [3] A. L. Morelato and A. Monticelli, "Heuristic search approach to distribution system restoration," Paper 89 WM 1 11 -6 PWRD, presented at the IEEE/PES 1989 Winter Meeting.
- [4] K. Aoki, T. Satoh, M. Itoh, H. Kuwabara, and M. Kanezashi, "Voltage drop constrained restoration of supply by switch operation in distribution systems," IEEE Trans. on Power Delivery, vol. 3, no. 3, pp. 1267-1274, Jul. 1988.
- [5] I. Watanabe and M. Nodu, "A genetic algorithm for optimizing switching sequence of service restoration in distribution systems," in Proc. Congress on Evolutionary Computation, CEC2004, vol. 2, pp. 1683-1690, 19-23 Jun. 2004.
- [6] Y. Fukuyama and H. D. Chiang, "A parallel genetic algorithm for service restoration in electric power distribution systems," in Proc. of the IEEE Int. 4th Conf. on Fuzzy Systems, vol. 1, pp. 275-282, 20-24 Mar 1995.
- [7] S. Chavali, A. Pahwa, and S. Das, "A genetic algorithm approach for optimal distribution feeder restoration during cold load pickup," in Proc. Congress on Evolutionary Computation, CEC2002, vol. 2, pp. 1816-1819, 12-17 May 2002.
- [8] Q. Zhou, D. Shirmohammadi, and W. E. Liu, "Distribution feeder reconfiguration for service restoration and load balancing," IEEE Trans. on Power System, vol. 12, no. 2, pp. 724-729, May 1997.
- [9] D. Shirmohammadi, "Service restoration in distribution networks via network reconfiguration," IEEE Trans. on Power Delivery, vol. 7, no. 2, pp. 952-958, Apr. 1992.
- [10] H. C. Kuo and Y. Y. Hsu, "Distribution system load estimation and service restoration using a fuzzy set approach," IEEE Trans. Power Delivery, vol. 8, no. 4, pp. 1950-1957, Oct. 1993.
- [11] S. Toune, H. Fudo, T. Genji, Y. Fukuyama, and Y. Nakanishi, "A reactive Tabu Search for service restoration in electric power distribution systems," in Proc. of IEEE Int. Conf. on Evolutionary Computation (ICEC), pp. 763-768, 4-9 May 1998.
- [12] Y. Y. Hsu and H. M. Huang, "Distribution system service restoration using the artificial neural network approach and pattern recognition method," in IEE Proc. of Generation, Transmission, and Distribution, vol. 142, no. 3, pp. 251-256, May 1995.
- [13] J. H. Choi, J. C. Kim, and S. I. Moon, "Integration operation of dispersed generations to automated distribution networks for network reconfiguration," in Proc. IEEE Power Tech Conf, vol. 2, 5 pp., Bologna, Italy, 23-26 Jun. 2003.
- [14] Distributed Generation as a Mean of Increase System Robustness, CRISP, EESP Project ENK5-CT\_2000
- [15] F. Glover, "Tabu Search part I," ORSA J. of Computing, vol. 1, no. 3, pp. 190-206, Summer 1989.
- [16] F. Glover, "Tabu Search part II," ORSA J. of Computing, vol. 2, no. 1, pp. 4-32, Winter 1990.
- [17] C. S. Cheng and D. Shirmohammadi, "A three-phase power flow method for real-time distribution system analysis," IEEE Trans. on Power Systems, vol. 10, no. 2, pp. 671-679, May 1995.

جدول پ - ۱: اطلاعات مربوط به شبکه ۳۲ باس.

شماره	ابتدا	انتها	R (ohm)	X (ohm)	P (Kw)	Q (Kvar)
۱	۱	۲	.۰۹۹۲	.۰۴۷۰	۱۰۰	۶۰
۲	۲	۳	.۰۴۹۳	.۰۴۹۳	۹۰	۴۰
۳	۳	۴	.۰۳۶	.۰۱۸۶۴	۱۲۰	۸۰
۴	۴	۵	.۰۳۸۱۱	.۰۱۹۴۱	۶۰	۳۰
۵	۵	۶	.۰۸۱۹	.۰۷۰۷	۶۰	۲۰
۶	۶	۷	.۰۱۸۷۲	.۰۶۱۸۸	۲۰۰	۱۰۰
۷	۷	۸	.۰۷۱۱۴	.۰۲۳۵۱	۲۰۰	۱۰۰
۸	۸	۹	.۰۱۰۳	.۰۷۲۴	۶۰	۲۰
۹	۹	۱۰	.۰۰۴۴	.۰۷۷۴	۶۰	۲۰
۱۰	۱۰	۱۱	.۰۱۹۶۶	.۰۶۰۵	۴۵	۳۰
۱۱	۱۱	۱۲	.۰۳۷۴۴	.۰۱۲۳۸	۶۰	۳۵
۱۲	۱۲	۱۳	.۰۱۱۲۹	.۰۷۱۲۹	۱۲۰	۸۰
۱۳	۱۳	۱۴	.۰۵۴۱۶	.۰۵۴۲۶	۱۲۰	۸۰
۱۴	۱۴	۱۵	.۰۵۹۱۰	.۰۵۲۶	۶۰	۱۰
۱۵	۱۵	۱۶	.۰۷۴۶۳	.۰۵۴۵	۶۰	۲۰
۱۶	۱۶	۱۷	.۰۱۲۸۹	.۰۷۲۱	۱۲۰	۱۰
۱۷	۱۷	۱۸	.۰۷۳۳	.۰۵۷۴	۹۰	۴۰
۱۸	۱۸	۱۹	.۰۱۶۴	.۰۵۶۵	۹۰	۴۰
۱۹	۱۹	۲۰	.۰۱۰۴	.۱۳۵۵۴	۹۰	۴۰
۲۰	۲۰	۲۱	.۰۴۰۹۵	.۰۴۷۸۴	۹۰	۴۰
۲۱	۲۰	۲۲	.۰۲۰۹۵	.۰۹۳۷۳	۹۰	۴۰
۲۲	۲۱	۲۲	.۰۷۰۸۹	.۰۳۰۸۳	۹۰	۵۰
۲۳	۲۲	۲۳	.۰۸۹۸	.۰۷۰۹۱	۴۲۰	۲۰۰
۲۴	۲۳	۲۴	.۰۷۰۸۹	.۰۷۰۱۱	۴۲۰	۲۰۰
۲۵	۲۴	۲۵	.۰۲۰۳	.۰۱۰۳۴	۶۰	۲۵
۲۶	۲۵	۲۶	.۰۷۴۳۲	.۰۱۴۴۷	۶۰	۲۵
۲۷	۲۶	۲۸	.۰۱۰۵۹	.۰۹۳۳۷	۶۰	۲۰
۲۸	۲۷	۲۸	.۰۸۰۴۲	.۰۷۰۰۶	۱۲۰	۷۰
۲۹	۲۸	۲۹	.۰۵۰۷۵	.۰۲۵۸۵	۲۰۰	۶۰۰
۳۰	۲۹	۳۱	.۰۹۷۴۴	.۰۹۶۳	۱۵۰	۷۰
۳۱	۳۱	۳۲	.۰۳۱۰۵	.۰۳۶۱۹	۲۱۰	۱۰۰
۳۲	۳۲	۳۳	.۰۳۴۱	.۰۵۳۰۲	۶۰	۴۰
۳۳	۳۲	۲۱	.۰۷۶۶	.۰۹۵	.۰۵	.۰۵
۳۴	۳۲	۲۲	.۰۹۵	.۰۹۵	.۰۵	.۰۵
۳۵	۳۵	۲۵	.۰۷۰۸۹	.۰۹۳۳۲	۲۵	۲۵

ظرفیت ترانس فوق توزیع: ۰.۷۵ MVA  
نوع هادی: هادی سکشن ۱ از نوع DOG با ۴۱۷ آمپر در شرایط نرمال و بقیه سکشن‌ها هادی MINK با ۲۸۸ آمپر.  
سطح ولتاژ سیستم توزیع ( $V_n$ ): ۱۲۶۶ kV  
محدوده ولتاژ سیستم توزیع:  $1.0^{+3} \times V_n < V < 1.0^{-3} \times V_n$   
ولتاژ کمینه مجاز شبکه در حالت بحرانی ( $V_{min\_C}$ ):  $0.93 \times V_n$

مصطفی محمدیان در سال ۱۳۶۸ مدرک کارشناسی مهندسی برق خود را از دانشگاه صنعتی امیرکبیر و در سال ۱۳۷۱ مدرک کارشناسی ارشد مهندسی برق خود را از دانشگاه تهران دریافت نمود. پس از آن به دوره دکترای مهندسی برق در دانشگاه کلگری، کانادا وارد گردید و در سال ۱۳۷۶ موفق به اخذ درجه دکترا در مهندسی برق گردید. از سال ۱۳۷۹ الی ۱۳۸۴ نامبرده به عنوان مهندس نرم افزار در OPISystems کلگری به کار مشغول بود. از سال ۱۳۷۹ الی ۱۳۸۴ در سازمان پژوهش‌های علمی و صنعتی ایران در تهران فعالیت کردند و دکتر محمدیان از سال ۱۳۸۴ در دانشکده مهندسی برق و کامپیوتر دانشگاه تربیت مدرس در تهران مشغول به فعالیت گردید و اینک نیز عضو هیأت علمی این دانشکده می‌باشد. زمینه‌های علمی مورد علاقه ایشان شامل موضوعاتی مانند کنترل موتورهای الکتریکی، کاربرد ادوات الکترونیک قدرت در تولید پراکنده و کاربرد DSP در الکترونیک قدرت می‌باشد.

امین مرادخانی تحصیلات خود را در مقاطع کارشناسی و کارشناسی ارشد برق قدرت بهترتب در سالهای ۱۳۸۳ از دانشگاه امیرکبیر و ۱۳۸۵ از دانشگاه تربیت مدرس به پایان رسانده است و هم‌اکنون در دانشگاه آزاد اسلامی واحد دهلران مشغول تدریس می‌باشد. زمینه‌های تحقیقاتی مورد علاقه ایشان عبارتند از: تولید پراکنده، برنامه ریزی و بهره‌برداری شبکه‌های توزیع و مدیریت دارای.

محمد رضا حقیقی فام در سال ۱۳۶۶ مدرک کارشناسی مهندسی برق خود را از دانشگاه تربیز و در سال ۱۳۶۹ مدرک کارشناسی ارشد مهندسی برق خود را از دانشگاه تهران دریافت نمود. در سال ۱۳۷۴ موفق به اخذ درجه دکترا در مهندسی برق قدرت از دانشگاه تربیت مدرس گردید. دکتر حقیقی فام از سال ۱۳۷۴ در دانشکده مهندسی برق و کامپیوتر دانشگاه تربیت مدرس در تهران مشغول به فعالیت گردید و اینک نیز عضو هیأت علمی این دانشکده می‌باشد. زمینه‌های علمی مورد علاقه نامبرده متعدد بوده و شامل موضوعاتی مانند قابلیت اطمینان سیستم‌های قدرت، تولید پراکنده، سیستم‌های تجدید ساختار، شبکه‌های توزیع و انتقال، مدیریت دارایی و شبکه‌های هوشمند می‌باشد.